



# БИООРГАНИЧЕСКАЯ ХИМИЯ

том 16 \* № 3 \* 1990

УДК 577.152.121\*2.012.6:577.322.63

© 1990 г.

*В. С. Ламзин, А. Е. Алешин\*, Б. О. Попов,  
Э. Г. Арутюнян\**

## НАД-ЗАВИСИМАЯ ФОРМИАТДЕГИДРОГЕНАЗА МЕТИЛОТРОФНЫХ БАКТЕРИЙ *PSEUDOMONAS* sp. 101

### II.\* ПРОСТРАНСТВЕННАЯ СТРУКТУРА ФЕРМЕНТА ПРИ РАЗРЕШЕНИИ 3,0 Å

*Институт биохимии им. А. Н. Баха АН СССР, Москва;*

*\* Институт кристаллографии им. А. В. Шубникова АН СССР, Москва*

С использованием трех изоморфных тяжелоатомных производных проведено рентгеноструктурное исследование кристаллов холоформы НАД-зависимой бактериальной формиатдегидрогеназы (тройной комплекс фермент—НАД—азид) с разрешением 3,0 Å. Показано, что субъединицы фермента состоят из двух доменов — катализитического и коферментсвязывающего, в полости между которыми находится активный центр и место связывания молекулы НАД. Определен ход полипептидной цепи, в которой локализовано 393 C<sup>α</sup>-атома. Определены элементы вторичной структуры формиатдегидрогеназы. Установлено, что НАД-связывающая область имеет характерную для НАД-зависимых дегидрогеназ структуру и состоит из элементов укладки по Россману.

Для выяснения молекулярного механизма действия НАД-зависимой формиатдегидрогеназы помимо биохимических и физико-химических характеристик фермента требуется знание его пространственной структуры.

Ранее [2] нами были получены кристаллы холоформы НАД-зависимой формиатдегидрогеназы метилотрофных бактерий *Pseudomonas* sp. 101 — тройного комплекса фермент — НАД — азид. В связи с особенностью электронного строения аниона азода, его высоким сродством к активному центру фермента и близостью геометрических характеристик анионов азода и формиата тройной комплекс фермент — НАД — азид рассматривается нами как гипотетический стабильный аналог переходного состояния ферментативного процесса [3]. Дифракционное поле кристаллов простирается до разрешения не менее 2,3 Å [2]. С использованием фаз, рассчитанных по четырем тяжелоатомным производным, был построен синтез электронной плотности кристаллов белка с разрешением 5,0 Å, интерпретация которого позволила установить приблизительные форму и размеры субъединиц молекулы формиатдегидрогеназы, их взаимное расположение в кристаллографической ячейке и локализовать молекулярную ось симметрии второго порядка [4].

Цель настоящего исследования — рентгеноструктурный анализ НАД-зависимой формиатдегидрогеназы метилотрофных бактерий *Pseudomonas* sp. 101 с разрешением 3,0 Å и определение атомной модели молекулы белка. В данной статье приведена предварительная часть этого исследования, включающая описание хода полипептидной цепи и элементов вторичной структуры формиатдегидрогеназы.

На основании рентгеноструктурного анализа низкого разрешения нами была скорректирована граница молекулы формиатдегидрогеназы в кристаллографической ячейке. Из четырех тяжелоатомных производных, использованных нами ранее [2], для получения синтеза электронной плотности с разрешением 3,0 Å оказались пригодными только три (одна с

\* Сообщение I см. [1]. Сокращения: FDH — формиатдегидрогеназа, LDH — лактатдегидрогеназа, MDH — малатдегидрогеназа, LADH — алкогольдегидрогеназа печени лошади, PCMB — пара-хлормеркурийбензоат.

Таблица 1

## Результаты уточнения параметров тяжелоатомных производных\*

Производные	<i>Z</i>	$\langle E \rangle$	$\langle f_H \rangle$	$R_C, \%$	Разрешение, Å
Нативный белок					20–3,0
Уранилацетат	10	1,10	1,45	66	20–3,0
PCMВ-1	2	1,06	1,50	64	20–3,0
PCMВ-2	4	1,00	1,80	58	20–3,5

\* *Z* — количество мест связывания на молекуле формиатдегидрогеназы,  $\langle E \rangle = \sqrt{\sum |F_{PH} - D_{PH}|^2 / N}$ ,  $\langle f_H \rangle = \sum F_H / N$ ,  $R_C = \sum |F_{PH} - D_{PH}| / \sum |D_{PH} - D_P|$ ,  $D_{PH}$ ,  $D_P$  — экспериментальные значения структурных амплитуд для производного и нативного кристаллов,  $F_{PH}$ ,  $F_H$  — расчетные значения структурных амплитуд для производного и тяжелых атомов,  $N$  — количество отражений.

уранилацетатом и две с *пара*-хлормеркурийбензоатом). Результаты последнего цикла уточнения представлены в табл. 1. Распределение электронной плотности, рассчитанное с применением данных по этим производным, подчинялось действию некристаллографической молекулярной оси симметрии второго порядка, что было использовано при уточнении фаз структурных амплитуд белка. Вместе с тем это дало возможность провести интерпретацию карт электронной плотности лишь в пределах одной субъединицы, а положения атомов другой получить путем размножения осью второго порядка. Положение молекулярной оси симметрии было выбрано таким образом, чтобы разница в значениях электронной плотности в симметрически связанных точках была минимальной.

Качество карт электронной плотности позволило определить ход полипептидной цепи формиатдегидрогеназы без использования данных о первичной структуре белка. Минимальный уровень электронной плотности был подобран таким образом, чтобы общий ее объем приблизительно соответствовал объему молекулы в ячейке. Оказалось, что в большинстве случаев максимумы, соответствующие основной цепи, не имеют разрывов, а максимумы электронной плотности боковых групп не перекрываются.

В субъединице формиатдегидрогеназы было локализовано около 390 С<sup>α</sup>-атомов. Последующее встраивание аминокислотной последовательности белка в его пространственную структуру подтвердило правильность определения хода полипептидной цепи фермента (рис. 1).

Субъединицы упакованы в молекулу достаточно плотно, практически без видимых между ними зазоров или полостей. Полипептидная цепь каждой из субъединиц организована в глобулярную двухдоменную структуру. В соответствии с общими принципами структурной организации NAD-зависимых дегидрогеназ [5] их домены имеют специфическое функциональное значение. Так называемый коферментсвязывающий домен ответствен за узнавание и связывание молекулы NAD в продуктивной конформации и имеет эволюционно-консервативную структуру. Катализический домен в дегидрогеназах, напротив, специфичен для каждого белка и содержит катализически важные аминокислотные остатки, ориентированные в активный центр. Из карты межатомных расстояний субъединицы формиатдегидрогеназы (рис. 2), иллюстрирующей вторичную структуру фермента и наличие двух доменов, видно, что коферментсвязывающий домен локализован в середине полипептидной цепи (аминокислотные остатки со 147-го по 333-й), а катализический домен включает два фрагмента полипептидной цепи (остатки с 1-го по 146-й и с 334-го по 393-й).

Коферментсвязывающий домен по своим размерам несколько меньше катализического и выражен на картах электронной плотности значительно четче, вероятно, вследствие меньшей подвижности. Катализические домены молекулы фермента расположены на периферии белковой глобулы и не связаны между собой, а две субъединицы контактируют через коферментсвязывающие домены, которые расположены вблизи оси симметрии молекулы.

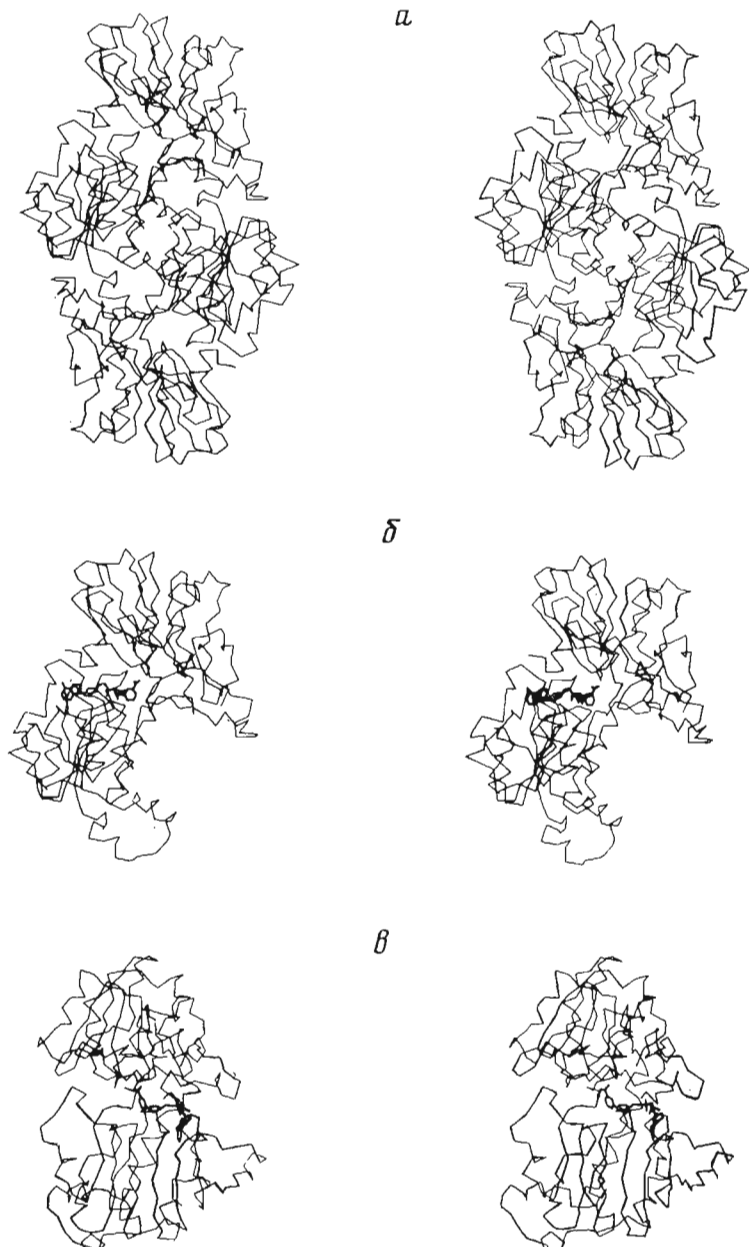


Рис. 1. Стереоизображение конформации полипептидной цепи в молекуле FDH: *a* — молекула фермента; *б*, *в* — субъединицы FDH, представленные в разных проекциях

В полипептидной цепи формиатдегидрогеназы были локализованы элементы вторичной структуры (табл. 2, рис. 3). Для обозначения элементов вторичной структуры, составляющих NAD-связывающую область коферментсвязывающего домена, использована шеменклатура, предложенная в работах [6, 7].

Содержание  $\alpha$ -спиральных участков в молекуле формиатдегидрогеназы составляет 41% в коферментсвязывающем домене, 29% в каталитическом домене и 35% по белку в целом. Фрагменты полипептидной цепи, имеющие конформацию  $\beta$ -цепей, составляют 24, 19 и 21%, а неупорядоченные участки — 35, 52 и 44% соответственно.

Каждый из доменов формиатдегидрогеназы имеет в своей основе лево-закрученный  $\beta$ -лист.  $\beta$ -Лист коферментсвязывающего домена состоит из

Вторичная структура субъединицы формиатдегидрогеназы

Номера остатков	Обозначение фрагментов	Функциональное значение
2–9	$\alpha 1$	Экранирование активного центра от растворителя
15–18	$\beta 1$	—
60–65	$\alpha 2$	—
66–73	$\beta 2$	—
81–90	$\alpha 3$	—
91–95	$\beta 3$	—
99–102	$\beta 4$	Взаимодействие с никотинамидной частью
104–111	$\alpha 4$	—
115–120	$\beta 5$	Взаимодействие с никотинамидной частью
128–135	$\alpha 5$	—
136–142	$\beta 6$	—
147–164	$\alpha A$	Межсубъединичный контакт
166–169	$\alpha 6$	То же
179–182	$\alpha 7$	»
192–197	$\beta A$	Взаимодействие с адениновым фрагментом
200–213	$\alpha B$	Межсубъединичный контакт
214–220	$\beta B$	Взаимодействие с адениновым фрагментом
227–233	$\alpha C$	Межсубъединичный контакт ?
234–239	$\beta C$	—
240–247	$\alpha 8$	—
250–256	$\beta D$	Взаимодействие с никотинамидной частью
268–272	$\alpha E$	—
277–282	$\beta E$	Взаимодействие с никотинамидной частью
291–300	$\alpha F$	—
303–308	$\beta F$	Взаимодействие с никотинамидной частью
318–324	$\alpha G$	—
326–331	$\beta G$	—
337–356	$\alpha 9$	Экранирование активного центра от растворителя
363–368	$\beta 9$	То же

7 приблизительно параллельных  $\beta$ -цепей, а катализитического — из 6 (рис. 3). Угол поворота крайних  $\beta$ -цепей  $\beta$ -листов составляет около  $90^\circ$  для коферментсвязывающего и  $80^\circ$  для катализитического доменов.

NAD-связывающая область коферментсвязывающего домена формиатдегидрогеназы состоит из двух элементов укладки полипептидной цепи по Россману (структура из трех параллельных  $\beta$ -цепей, соединенных  $\alpha$ -спиралью [8] —  $\beta A-\alpha B-\beta B-\alpha C-\beta C$  (аденинсвязывающий субдомен) и  $\beta D-\alpha E-\beta E-\alpha F-\beta F$  (никотинамидсвязывающий субдомен), и имеет топологию, близкую к капонической [9]. Пары  $\alpha$ -спиралей ( $\alpha B$  и  $\alpha C$ ,  $\alpha E$  и  $\alpha F$ ) расположены по разные стороны  $\beta$ -листа. Наряду с двумя петлями Россмана в  $\beta$ -листе коферментсвязывающего домена формиатдегидрогеназы имеется дополнительная  $\beta$ -цепь, входящая в состав никотинамидной половины домена ( $\beta G$ ), с соответствующей  $\alpha$ -спиралью ( $\alpha G$ ), расположенной по ту же сторону  $\beta$ -листа, что и спирали  $\alpha E$  и  $\alpha F$ . Это обстоятельство отличает строение коферментсвязывающего домена формиатдегидрогеназы от структуры классического коферментсвязывающего домена в LDH, MDH и LADH, который включает  $\beta$ -лист, состоящий только из 6  $\beta$ -цепей. Другая характерная особенность коферментсвязывающего домена формиатдегидрогеназы — протяженная (18 аминокислотных остатков)  $\alpha A$ -спираль, соединяющая его с катализитическим доменом и обеспечивающая межсубъединичное взаимодействие коферментсвязывающих доменов в молекуле. Спираль  $\alpha A$  расположена по ту же сторону  $\beta$ -листа, что и спирали  $\alpha B$  и  $\alpha C$ . Аналогичные элементы вторичной структуры были найдены в LDH (спираль  $\alpha ZG$ , принадлежащая катализитическому домену) и LADH (спираль  $\alpha A$ , соединяющая катализитический и коферментсвязывающий домены) [10].

Молекулярная ось симметрии формиатдегидрогеназы проходит приблизительно параллельно плоскости  $\beta$ -листа коферментсвязывающего домена белка. В связи с этим наиболее интенсивные контакты субъединиц в молекуле фермента осуществляются вдоль направления, перпендикулярного плоскости  $\beta$ -листа. В межсубъединичных контактах участвуют  $\alpha$ -спирали

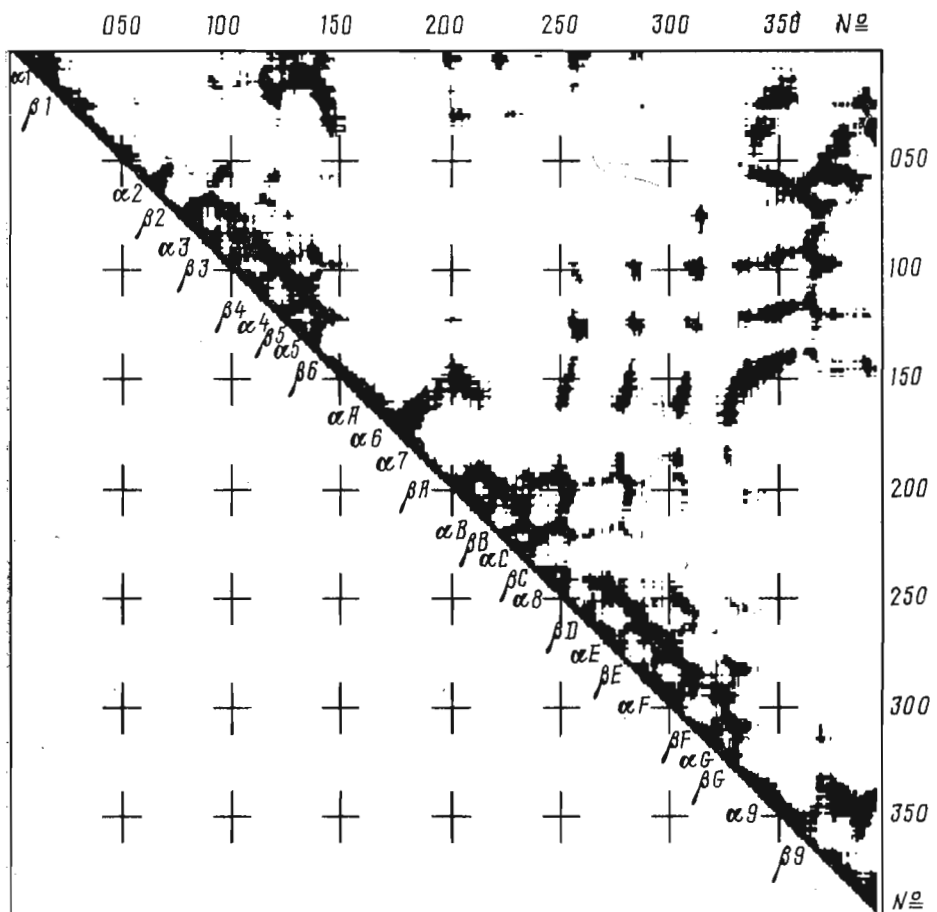


Рис. 2. Карта межатомных расстояний субъединицы FDН. Черным цветом указаны расстояния между соответствующими  $\text{C}^\alpha$ -атомами, значения которых меньше 16 Å. На диагонали карты нанесены обозначения фрагментов полипептидной цепи (см. табл. 2 и [6, 7]).

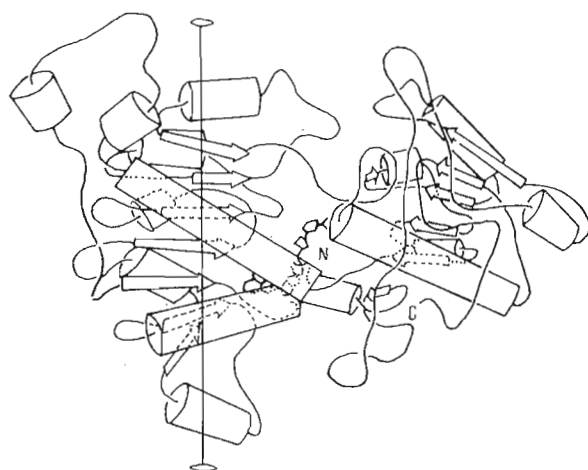


Рис. 3. Диаграммное представление структуры субъединицы FDН. Стрелками обозначены  $\beta$ -цепи, цилиндрами –  $\alpha$ -спиральные участки. Две субъединицы молекулы связаны некристаллографической осью симметрии, показанной на рисунке. Жирными линиями представлена молекула NAD.

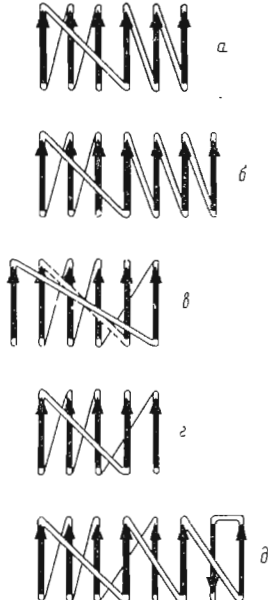


Рис. 4. Сравнение структурного мотива коферментсвязывающего (б) и катализического (в) доменов FDH с родственными структурами: канонической структурой коферментсвязывающего домена (LDH, MDH, LADH) (а), d2-доменом глутатионредуктазы (г) и дигидрофолатредуктазы (д). Схема соединения  $\beta$ -цепей, входящих в состав доменов, представлены в соответствии с обозначениями Ричардсона [9]. Штриховой линией в катализическом домене FDH отмечен коферментсвязывающий домен белка, расположенный между  $\beta_6$ - и  $\beta_9$ -цепями

$\alpha A$ ,  $\alpha B$ ,  $\alpha C$ ,  $\alpha B$  и  $\alpha 7$ . Роль  $\alpha$ -спиралей  $\alpha B$  и  $\alpha 7$  следует оговорить особо. Эти элементы вторичной структуры располагаются на достаточно протяженном (с Түг-165 до Ala-191) неупорядоченном участке полипептидной цепи, который участвует в формировании межсубъединичного взаимодействия в молекуле белка, контактируя с коферментсвязывающим доменом другой субъединицы и закрывая активный центр от воздействия растворителя. Взаимодействуя с коферментсвязывающим доменом, спирали  $\alpha B$  и  $\alpha 7$  контактируют, кроме того, и с неупорядоченным фрагментом катализического домена «соседней» субъединицы — петлей, включающей остатки с Pro-39 по Gly-47.

Таким образом, в результате ассоциации двух субъединиц формиатдегидрогеназы в молекуле белка создается общирное гидрофобное ядро, образованное приблизительно параллельными  $\beta$ -листами двух коферментсвязывающих доменов, принадлежащих соседним субъединицам, и заключенными между ними соответствующими  $\alpha$ -спиральями.

В составе катализического домена формиатдегидрогеназы находятся 7  $\beta$ -цепей, 6 из которых организованы в деформированный  $\beta$ -лист, на поверхности которого располагаются  $\alpha$ -спирали:  $\alpha 3$ ,  $\alpha 4$  и  $\alpha 5$  по одну сторону  $\beta$ -листа и  $\alpha 2$  и  $\alpha 9$  — по другую. Отметим, что по своей топологии катализический домен формиатдегидрогеназы отличается от соответствующих доменов в других NAD-зависимых дегидрогеназах, для которых в основном характерна антипараллельная  $\beta$ -структура [10].

Последовательность элементов вторичной структуры катализического домена формиатдегидрогеназы близка к структурному мотиву d2-домена глутатионредуктазы [11] и дигидрофолатредуктазы [12], которые, в свою очередь, принято рассматривать в качестве членов того же самого структурного семейства, к которому принадлежат и классические NAD-связывающие домены дегидрогеназ (рис. 4).

В качестве отдельного элемента катализического домена могут быть выделены первые 18 аминокислотных остатков, образующие  $\alpha$ -спираль (2–9:  $\alpha 1$ ) и короткий фрагмент  $\beta$ -цепи (15–18:  $\beta 1$ ), соединенные с остальной частью катализического домена протяженным участком (41 аминокислотный остаток) неупорядоченной структуры. Функциональная роль этого  $\alpha$ - $\beta$ -элемента, по-видимому, заключается в экранировании активного центра фермента от растворителя при образовании катализического комплекса, что может осуществляться перемещением спирали  $\alpha 1$ . Еще одна важная особенность катализического домена формиатдегидрогеназы — неупорядоченный участок, заключенный между  $\beta 1$  и  $\alpha 2$ . О его взаимодействии

вии с элементами коферментсвязывающего домена (спирали  $\alpha$ 6 и  $\alpha$ 7) уже упоминалось. Следует отметить, что эта протяженная петля контактирует и с другими участками коферментсвязывающего домена соседней субъединицы, что должно вносить дополнительный вклад в прочность межсубъединичных контактов.

Активный центр каждой из субъединиц формиатдегидрогеназы расположен в области контакта двух доменов и образован аминокислотными остатками, принадлежащими лишь «своей» субъединице. На картах электронной плотности хорошо видна молекула кофермента, электронная плотность которой четко отделяется от плотности, соответствующей молекуле белка. Молекула NAD в активном центре формиатдегидрогеназы располагается в открытой конформации (рис. 3), как и в других дегидрогеназах [13]. Расстояние между центрами аденинового и никотинамидного фрагментов составляет около 14 Å. Адениновая часть молекулы кофермента ориентирована в раствор и может быть доступна воздействию растворителя. В организации активного центра формиатдегидрогеназы участвуют аминокислотные остатки, принадлежащие как коферментсвязывающему, так и каталитическому домену фермента. Адениновая часть молекулы кофермента расположена в полости, образованной гидрофобными остатками, принадлежащими аденинсвязывающему субдомену коферментсвязывающего домена формиатдегидрогеназы (участки полипептидной цепи Thr-196 – Ala-199 и Tyr-219 – His-223). Вход в активный центр со стороны адениновой части кофермента, как уже отмечалось, закрывает спираль  $\alpha$ 1, относящаяся к каталитическому домену белка. Область связывания никотинамидной части молекулы NAD образована участками цепи каталитического домена (Gln-96 – Phe-98, Ala-120 – Ser-124) и коферментсвязывающего домена (Val-145 – His-153, Gys-255 – Pro-259, Asn-281 – Arg-284, Gly-307 – Val-309 и His-332 – Thr-337). Роль дополнительного седьмого элемента  $\beta$ -листа ( $\alpha$ G- $\beta$ G) заключается, вероятно, в организации участка полипептидной цепи, экранирующего никотинамидный фрагмент молекулы кофермента в активном центре от воздействия растворителя. Непосредственно экранирование осуществляется неупорядоченный участок с Val-309 по Lys-317. Вход в активный центр в области никотинамидсвязывающего участка закрывает также петля с Leu-257 по Glu-262.

В связи с тем что электронная плотность, соответствующая аниону азота, на картах электронной плотности при данном разрешении не проявляется, локализация субстратсвязывающего участка активного центра на данном этапе не представляется возможной.

Таким образом, проведенное рентгеноструктурное исследование бактериальной формиатдегидрогеназы дает четкое представление об организации белковой глобулы на уровне хода полипептидной цепи, а привлечение данных о первичной структуре белка позволяет сделать определенные выводы об организации активного центра фермента.

## Экспериментальная часть

Структуру фермента определяли методом полизоморфного замещения. Тяжелоатомные производные для FDH (уранилацетат и PCMB-2) были получены как описано ранее [2]. Производное PCMB-1 получено по той же методике, что и PCMB-2, однако время настаивания было увеличено до 48 ч при четырехкратном избытке модификатора по отношению к количеству белка в кристалле. Наборы интенсивностей рентгеновских отражений для PCMB-2-производного с четырьмя местами связывания получали на дифрактометре Syntex P2<sub>1</sub> (США). Измерения отражений производились с одного кристалла в независимой части обратного пространства до падения интенсивностей контрольных отражений не более чем на 15%. Экспериментальные данные для остальных производных и нативного белка были отсняты на координатном дифрактометре КАРД (Институт кристаллографии АН СССР) с двумерным детектором, что дало возможность провести измерение каждого из наборов на одном кристалле. Измеряли 3–4 эквивалентных отражения от разрешения 3,0 Å, при этом скорость ска-

нирования подбирали такой, чтобы радиационный распад кристалла не превышал 3–5%. Использовали методики съемки, описанные в работах [14, 15]. Учет поправок Лоренца и на распад, поглощение и поляризацию, а также шкалирование наборов проводили по стандартным методикам [16, 17]. Для компенсации систематических ошибок, возникающих из-за съемки производного и нативного кристалла по различным методикам, набор, полученный на дифрактометре Syntex P2<sub>1</sub>, шкалировался к нативному анизотропно.

Уточнение параметров тяжелых атомов и расчет фаз производили как описано ранее [2]. Для повышения качества синтеза была применена процедура молекулярного усреднения с последующим комбинированием фаз [18]. После трех циклов комбинирования фактор достоверности в определении фаз (*m*) возрос с 0,58 до 0,82. Использовали расчетные и графические программы, разработанные сотрудниками Института кристаллографии АН СССР А. А. Вагиным, А. И. Рыскиным и Б. В. Стрекозовым.

Синтез электронной плотности кристаллов белка с разрешением 3,0 Å был нарисован на прозрачных пленках в масштабе 2,5 Å/см при разбиении элементарной ячейки по осям *X*, *Y* и *Z* на 116, 112 и 64 части соответственно. При проведении хода полипептидной цепи по мини-картам учитывалось положение максимумов электронной плотности боковых групп, а расстояние между C<sup>α</sup>-атомами принималось равным 3,8 Å.

Авторы выражают искреннюю признательность сотрудникам Института кристаллографии АН СССР Ю. В. Некрасову, С. В. Рубинскому и А. Н. Попову за помощь в осуществлении съемки кристаллов формиатдегидрогеназы на дифрактометрах.

#### СПИСОК ЛИТЕРАТУРЫ

- Попов В. О., Шумилин Н. А., Устинникова Т. Б., Ламзин В. С., Егоров Ц. А. // Биоорганская химия. 1990. Т. 16. № 3. С. 324–335.
- Деведжисе Я., Мороз О. В., Арутюнян Э. Г., Ламзин В. С., Егоров А. М., Попов В. О., Березин И. В. // Докл. АН СССР. 1986. Т. 286. № 3. С. 757–760.
- Hermes I. J., Morrical S. W., O'Leary M. H., Cleland W. W. // Biochemistry. 1984. V. 23. № 23. P. 5479–5488.
- Алешин А. Е., Ламзин В. С., Деведжисе Я. Д., Рубинский С. В., Попов В. О., Егоров А. М., Арутюнян Э. Г., Березин И. В. // Докл. АН СССР. 1987. Т. 294. № 4. С. 973–976.
- Rossmann M. G., Liljas A., Branden C.-I., Banaszak L. J. // The Enzymes/Ed. Boyer P. D. N. Y.: Acad. Press. 3ed ed. 1975. V. 11. Part A. P. 61–102.
- Adams M. G., Ford G. C., Koekoek R., Lentz P. J., McPherson A., Rossmann M. G., Smiley I. E., Shewitz R. W., Wonacott A. J. // Nature. 1970. V. 227. № 5263. P. 1098–1103.
- Hill E. I., Tsernoglou D., Webb L., Banaszak L. J. // J. Mol. Biol. 1972. V. 72. № 3. P. 577–591.
- Rao S. T., Rossmann M. G. // J. Mol. Biol. 1973. V. 76. № 2. P. 241–256.
- Richardson J. S. // Adv. in Protein Chemistry/Eds. Anfinsen C. B., Edsall J. T., Richards F. M. N. Y.: Acad. Press, 1981. V. 34. P. 167–339.
- Branden C.-I., Eklund H. // Dehydrogenases Requiring Nicotinamid Coenzymes/Ed. Jeffery J. Basel: Birkhauser, 1980. P. 41–84.
- Schulz C. E., Shirmer R. H., Sachsenheimer W., Pai E. F. // Nature. 1978. V. 273. P. 120–124.
- Matthews D. A., Alden R. A., Bolin J. T., Freer S. T., Hamlin R., Xuong N., Kraut J., Poe M., Williams M., Hoogstein K. // Science. 1977. V. 197. P. 452–455.
- Rossmann M. G., Moras D., Olsen K. W. // Nature. 1974. V. 250. № 5463. P. 194–199.
- Некрасов Ю. В. // Кристаллография. 1988. Т. 33. Вып. 3. С. 795–797.
- Andrianova M. E., Harutyunyan E. H., Kheiker D. M., Popov A. N., Chernenko S. P., Ivanov A. B., Peshekhanov V. D., Zanevsky Yu. V. // 8th Eur. Cryst. Meeting. Liege. 1983. P. 30.
- North A. C. T., Philips D. C., Matthews F. S. // Acta crystallogr. 1968. V. A24. P. 351–359.
- Wilson A. J. C. // Acta crystallogr. 1949. V. 2. P. 318–322.
- Bricogne C. // Acta crystallogr. 1976. V. A32. P. 832–847.

Поступила в редакцию  
4.IV.1989

После доработки  
20.X.1989

V. S. LAMZIN, A. E. ALESHIN \*, V. O. POPOV, E. H. HARUTYUNYAN \*

NAD-DEPENDENT FORMATE DEHYDROGENASE FROM METHYLOTROPHIC  
BACTERIUM *PSEUDOMONAS* sp. 101. II. THREE-DIMENSIONAL  
STRUCTURE AT 3.0 Å RESOLUTION

*A. N. Bach Institute of Biochemistry, Academy of Sciences of the USSR,  
Moscow;*

*\* A. V. Shubnikov Institute of Crystallography, Academy of Sciences  
of the USSR, Moscow*

Three heavy atom isomorphous derivatives were used for the X-ray analysis of the holo form of NAD-dependent bacterial formate dehydrogenase (ternary complex enzyme-NAD-azide) at 3.0 Å resolution. The enzyme subunit contains a catalytic and a coenzyme binding domain, with the active centre and the coenzyme binding site in the cleft between the domains. The polypeptide chain's fold and the position of 393 C<sup>α</sup>-atoms were determined. The secondary structure of the formate dehydrogenase was resolved. The structure of the NAD-binding domain is shown to be similar to that of other NAD-dependent enzymes.